



ИНСТИТУТ ПРИКЛАДНОЙ МАТЕМАТИКИ ИМ.  
М. В. КЕЛДЫША  
РОССИЙСКОЙ АКАДЕМИИ НАУК

# Лимитер повышенного порядка точности для разрывного метода Галеркина на треугольных сетках

*Ладонкина М.Е., Неклюдова О.А., Тишкин В.Ф.*

XV Всероссийская конференция-школа молодых исследователей  
«Современные проблемы математического моделирования»

Абрау-Дюрсо

16-21 сентября 2013 г

# План доклада

- Разрывный метод Галеркина для уравнений Эйлера.
- Лимитеры.
- Тестовая задача.



## Метод Галеркина с разрывными базисными функциями (РМГ) или Discontinuous Galerkin Method (DGM) .

- Этот метод применим для различных типов уравнений
- Обладает рядом достоинств, присущих как конечно-элементным, так и конечно-разностным аппроксимациям.
- Обеспечивает заданный порядок точности.
- Может использоваться для сеток произвольной структуры.
- Позволяет достаточно просто реализовывать граничные условия различных типов.
- Теоретическая обоснованность метода.

---

Bernardo Cockburn An Introduction to the Discontinuous Galerkin Method for Convection - Dominated Problems, [Advanced Numerical Approximation of Nonlinear Hyperbolic Equations Lecture Notes in Mathematics](#), 1998, Volume 1697/1998, 151-268



# Метод Галеркина с разрывными базисными функциями для уравнений Эйлера в двумерном случае

Рассмотрим уравнения двумерной идеальной газовой динамики

$$\frac{\partial U}{\partial t} + \frac{\partial F(U)}{\partial x} + \frac{\partial G(U)}{\partial y} = 0$$
$$U = \begin{pmatrix} \rho \\ \rho u \\ \rho v \\ E \end{pmatrix} \quad F = \begin{pmatrix} \rho u \\ \rho u^2 + p \\ \rho uv \\ (E + p)u \end{pmatrix} \quad G = \begin{pmatrix} \rho v \\ \rho uv \\ \rho v^2 + p \\ (E + p)v \end{pmatrix} \quad (1)$$

$\rho$  – плотность

$u, v$  – компоненты вектора скорости

$\varepsilon$  – удельная внутренняя энергия

$p$  – давление

$$E = \rho \left( \varepsilon + \frac{u^2 + v^2}{2} \right) \quad \begin{array}{l} \text{-полная энергия} \\ \text{на единицу объема} \end{array}$$

(2)

$$p = (\gamma - 1)\rho\varepsilon$$

$\gamma$  – показатель адиабаты

Эти уравнения должны быть дополнены начальными и граничными условиями, вид которых зависит от конкретной задачи, и будут конкретизированы далее.



Покроем область  $\Omega$ , на которой ищется решение, треугольной сеткой  $T_h$ .

На каждом треугольнике  $T_j$  приближенное решение системы будем искать в виде полиномов  $P(x, y)$  степени  $p$  с зависящими от времени коэффициентами.

$$U_h(x, y, t) = \sum_{k=0}^m U_k(t) \phi_k(x, y)$$

Приближенное решение системы в разрывном методе Галеркина ищется как решение следующей системы

$$\frac{d}{dt} \int_{T_j} U_h(x, y, t) \cdot \phi_k(x, y) dx dy + \oint_{\partial T_j} h(U_h^+(x, y, t), U_h^-(x, y, t), n) \cdot \phi_k(x, y) dS - \int_{T_j} \left[ F(U_h(x, y, t)) \cdot \frac{\partial \phi_k(x, y)}{\partial x} + G(U_h(x, y, t)) \cdot \frac{\partial \phi_k(x, y)}{\partial y} \right] dx dy = 0,$$

$$\forall \phi_k(x, y), k = 0, m.$$



Выберем **систему базисных функций**:

$$\phi_0 = 1,$$

$$\phi_1 = \frac{x - x_c}{\Delta x}, \quad \phi_2 = \frac{y - y_c}{\Delta y},$$

$$\phi_3 = \left( \frac{x - x_c}{\Delta x} \right)^2, \quad \phi_4 = \left( \frac{x - x_c}{\Delta x} \right) \left( \frac{y - y_c}{\Delta y} \right), \quad \phi_5 = \left( \frac{y - y_c}{\Delta y} \right)^2$$

$(x_c, y_c)$  – центр масс ячейки

$\Delta x, \Delta y$  – проекция ячейки на оси  $x$  и  $y$  соответственно



## 2D лимитеры

- Лимитер  $\Lambda\Pi_h$  для **кусочно-линейных функций** должен удовлетворять следующим условиям:

- 1. **Сохранение «массы»:** для любого элемента  $T_j \in T_h$

$$\int_{T_j} \Lambda\Pi_h u_h dx dy = \int_{T_j} u_h dx dy$$

- 2. **Ограничение наклона:** на каждом элементе  $T_j \in T_h$  величины наклона кусочно-линейной функции

$$\Lambda\Pi_h u_h = \sum_{k=0}^2 \tilde{u}_k \phi_k(x, y) = u_0 + \sum_{k=1}^2 \tilde{u}_k \phi_k(x, y)$$

по направлениям, заранее определенным по некоторому правилу,  $u_h$  не превышают величин наклона исходной функции .

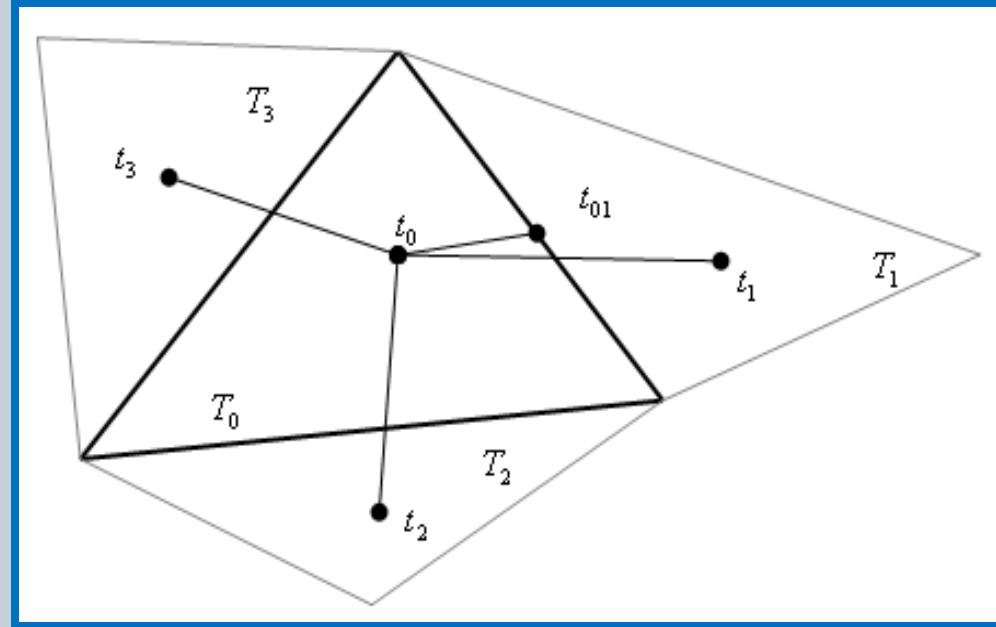


## Построение ограничителя $\Lambda\Pi_h$ на треугольном элементе.

8

$t_j$  – центр масс треугольника  $T_j$

$t_{0j}$  – центр  $j$ -го ребра,  
являющегося общим  
для треугольников  $T_0, T_j$



Рассмотрим на каждом из треугольников  $T$  систему базисных функций

$\varphi_j(x, y)$  – линейная функция 
$$\varphi_j(x, y) = \begin{cases} 1, & \text{в } t_{0j}, \\ 0, & \text{в } t_{0i} \end{cases} \quad j \neq i.$$

Тогда приближенное решение в треугольнике  $T_j$  можно представить в виде 
$$u_h(x, y, t) = \sum_{j=1}^3 u_{0j}(t) \cdot \varphi_j(x, y)$$

$u_{0j}(t)$  – значение численного решения в центре  $j$ -го ребра





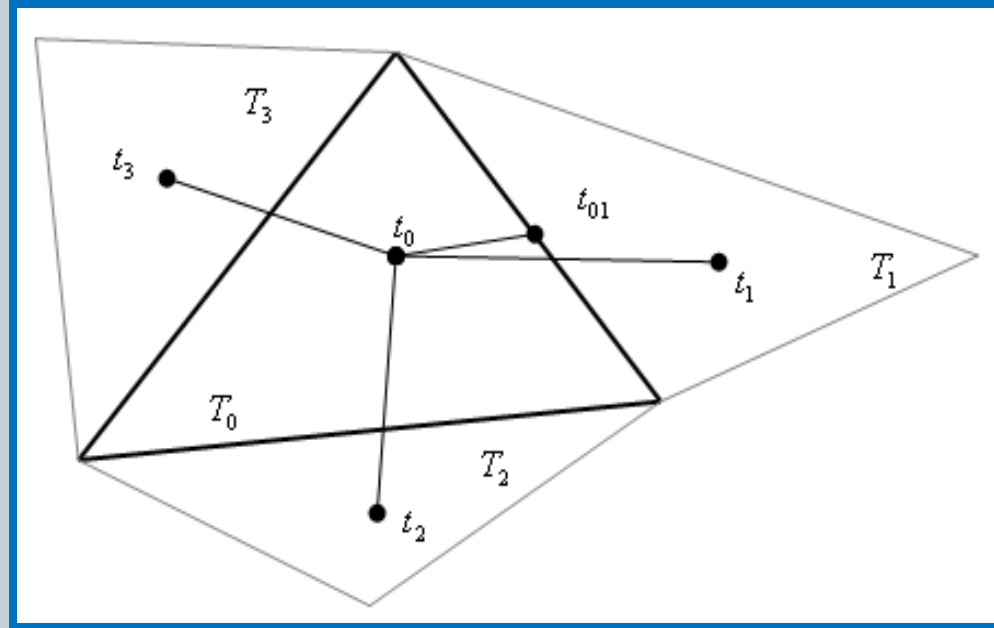
## Построение ограничителя $\Lambda\Pi_h$ на треугольном элементе (2).

1. Вычислим приращение

функции в точке  $t_{0i}$

$$\Delta u_{0j} = u_h(t_{0j}) - u_h(t_0) = u_h(t_{0j}) - u_0$$

$$u_0 = \bar{u}_{T_0} = \frac{1}{|T_0|} \int_{T_0} u_h dx dy = u_h(t_0)$$



2. Тогда для  $(x, y) \in T_0$  в фиксированный момент времени  $t$  можно записать:

$$u_h(x, y) = \sum_{j=1}^3 u_{0j} \cdot \varphi_j(x, y) = u_0 + \sum_{j=1}^3 \Delta u_{0j} \cdot \varphi_j(x, y)$$

3. Построим линейную функцию  $\tilde{u}_{hj}(x, y)$  на треугольнике, вершины которого являются центрами масс соответствующего треугольника  $T_0T_1T_2$ ,  $T_0T_1T_3$  или  $T_0T_2T_3$ . по интегральным средним значениям внутри данного треугольника.

4. Вычислим приращение функции  $\Delta \tilde{u}_{0j} = \tilde{u}_{0j} - u_0$ ,



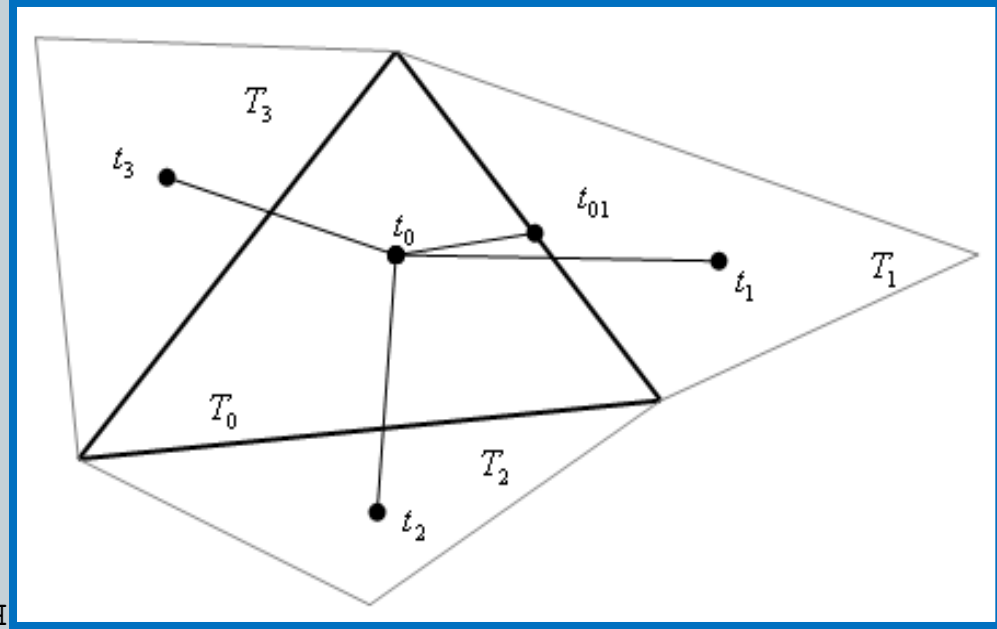
## Построение ограничителя $\Lambda\Pi_h$ на треугольном элементе (3).

Для определения  $\Lambda\Pi_h u_h$

вычислим величины

$$\Delta_j = \min_{1 \leq v \leq 2} \text{mod}(\Delta u_{0j}, v \Delta \tilde{u}_{0j}),$$

где  $1 \leq v \leq 2$



Для выполнения закона сохранения необходимо потребовать выполнения условия

$$\int_{T_j} \left( u_0 + \sum_{j=1}^3 \Delta_j \cdot \psi_j(x, y) \right) dx dy = \int_{T_j} u_h dx dy \quad \text{или} \quad u_0 \cdot S_{T_j} + \frac{S_{T_j}}{3} \sum_{j=1}^3 \Delta_j = u_0 \cdot S_{T_j}$$

Если это равенство выполнено и  $\sum_{i=1}^3 \Delta_j = 0$ , то полагаем

$$\Lambda\Pi_h u_h = u_0 + \sum_{j=1}^3 \Delta_j \varphi_j(x, y).$$

Если  $\sum_{j=1}^3 \Delta_j \neq 0$ , то величины  $\Delta_j$  подвергаются коррекции в сторону уменьшения.



## Построение ограничителя $\Lambda\Pi_h$ на треугольном элементе (4) .

1. Все  $\Delta_j$  одного знака, тогда полагаем  $\Delta_j = 0$ ,  $j = 1, 2, 3$

2. Две  $\Delta_j$  одного знака, а третья – противоположного,

пусть для определенности  $sign(\Delta_1) = sign(\Delta_2) = -sign(\Delta_3)$

и  $|\Delta_1 + \Delta_2| > |\Delta_3|$

тогда следует большие величины уменьшить так чтобы

$$\theta \cdot (\Delta_1 + \Delta_2) + \Delta_3 = 0 \quad , \text{ где } \theta < 1 \quad .$$

Вычисляем суммарный

вклад положительных

членов

и

суммарный вклад

отрицательных членов

$$\sum_{i=1}^3 \Delta_j \quad \longrightarrow \quad pos = \sum_{j=1}^3 \max(0, \Delta_j),$$

$$\sum_{i=1}^3 \Delta_j \quad \longrightarrow \quad neg = \sum_{j=1}^3 \max(0, -\Delta_j),$$

$$\text{Полагаем } \theta^+ = \min\left(1, \frac{neg}{pos}\right), \quad \theta^- = \min\left(1, \frac{pos}{neg}\right).$$

Определим величину  $\tilde{\Delta}_j = \theta^+ \max(0, \Delta_j) - \theta^- \max(0, -\Delta_j)$ .

Тогда окончательно получим

$$\Lambda\Pi_h u_h(x, y) = u_0 + \sum_{j=1}^3 \tilde{\Delta}_j \varphi_j(x, y).$$



Для применения данного лимитера, в случае когда **решение** представляет собой **полином**, **порядка выше единицы**, спроецируем функцию

$$u_h(x, y, t) = \sum_{j=0}^5 u_j(t) \cdot \phi_j(x, y)$$

на пространство линейных полиномов  $u_h^l(x, y) = \sum_{j=1}^3 u_{0j}^l \cdot \varphi_j(x, y)$

Далее лимитируем функцию  $u_h^l(x, y)$

в соответствии с алгоритмом, описанным выше.

**Если**  $\Delta_j^l = \Delta u_{0j}^l$  для всех  $j$ ,

то в результате действия лимитера **исходная функция не изменится**

$$\Lambda \Pi_h u_h(x, y) = \sum_{j=0}^5 u_j(t) \cdot \phi_j(x, y),$$

**в противном случае** продолжаем **лимитирование** в соответствии с алгоритмом .



## 2D обобщение «моментного» лимитера

13

Для построения нового «моментного» лимитера перейдем к блочно ортогональной системе базисных функций.

$$\text{I: } \phi_0 = 1,$$

$$\text{II: } \phi_1 = \frac{x - x_c}{\Delta x}, \phi_2 = \frac{y - y_c}{\Delta y},$$

$$\text{III: } \begin{cases} \phi_3 = \left(\frac{x - x_c}{\Delta x}\right)^2, \\ \phi_4 = \left(\frac{x - x_c}{\Delta x}\right)\left(\frac{y - y_c}{\Delta y}\right), \\ \phi_5 = \left(\frac{y - y_c}{\Delta y}\right)^2 \end{cases}$$

$$\text{I: } \varphi_0 = 1,$$

$$\text{II: } \varphi_x = \frac{x - x_c}{\Delta x}, \varphi_y = \frac{y - y_c}{\Delta y},$$

$$\text{III: } \begin{cases} \varphi_{xx} = \left(\frac{x - x_c}{\Delta x}\right)^2 + \alpha_{xx}\left(\frac{x - x_c}{\Delta x}\right) + \beta_{xx}\left(\frac{y - y_c}{\Delta y}\right) + \gamma_{xx}, \end{cases}$$

$$\begin{cases} \varphi_{xy} = \left(\frac{x - x_c}{\Delta x}\right)\left(\frac{y - y_c}{\Delta y}\right) + \alpha_{xy}\left(\frac{x - x_c}{\Delta x}\right) + \beta_{xy}\left(\frac{y - y_c}{\Delta y}\right) + \gamma_{xy}, \end{cases}$$

$$\begin{cases} \varphi_{yy} = \left(\frac{y - y_c}{\Delta y}\right)^2 + \alpha_{yy}\left(\frac{x - x_c}{\Delta x}\right) + \beta_{yy}\left(\frac{y - y_c}{\Delta y}\right) + \gamma_{yy} \end{cases}$$

1. Разложим исходную функцию  $u_h(x, y) = \sum_{j=0}^5 u_j(t) \cdot \phi_j(x, y)$  по базису

$$u_h(x, y, t) = \bar{u}_0 + u_1^* \varphi_x + u_2^* \varphi_y + u_3 \varphi_{xx} + u_4 \varphi_{xy} + u_5 \varphi_{yy},$$

$$\text{где } \bar{u}_0 = \frac{1}{|T_0|} \int_{T_0} u_h dx dy$$

Krivodonova L., Limiters for high-order discontinuous Galerkin methods.

2007, Journal of Computational Physics, vol. 226, pp. 879-896



2. Рассмотрим 
$$\frac{\partial u(x, y)}{\partial x} = k_x + 2u_3 \left( \frac{x - x_c}{\Delta x} \right) + u_4 \left( \frac{y - y_c}{\Delta y} \right)$$

$$\frac{\partial u(x, y)}{\partial y} = k_y + u_4 \left( \frac{x - x_c}{\Delta x} \right) + 2u_5 \left( \frac{y - y_c}{\Delta y} \right)$$

Ограничиваем производные

$$\Lambda \Pi_h \frac{\partial u_h(x, y)}{\partial x} = k_x + 2\tilde{u}_3 \left( \frac{x - x_c}{\Delta x} \right) + \tilde{u}_4^x \left( \frac{y - y_c}{\Delta y} \right)$$

$$\Lambda \Pi_h \frac{\partial u_h(x, y)}{\partial y} = k_y + \tilde{u}_4^y \left( \frac{x - x_c}{\Delta x} \right) + 2\tilde{u}_5 \left( \frac{y - y_c}{\Delta y} \right)$$

Необходимо выполнение условия

$$\frac{\partial}{\partial y} \left( \Lambda \Pi_h \frac{\partial u_h(x, y)}{\partial x} \right) = \frac{\partial}{\partial x} \left( \Lambda \Pi_h \frac{\partial u_h(x, y)}{\partial y} \right)$$



$$\Delta \Pi_h^n \frac{\partial u_h(x, y)}{\partial x} = k_x + 2\tilde{u}_3 \left( \frac{x - x_c}{\Delta x} \right) + \frac{\tilde{u}_4^x + \tilde{u}_4^y}{2} \left( \frac{y - y_c}{\Delta y} \right)$$
$$\Delta \Pi_h \frac{\partial u_h(x, y)}{\partial y} = k_y + \frac{\tilde{u}_4^x + \tilde{u}_4^y}{2} \left( \frac{x - x_c}{\Delta x} \right) + 2\tilde{u}_5 \left( \frac{y - y_c}{\Delta y} \right)$$

Если в результате действия лимитера на функции  $\frac{\partial u_h(x, y)}{\partial x}$  и  $\frac{\partial u_h(x, y)}{\partial y}$  коэффициенты  $u_3, u_4, u_5$  не изменились

$$u_3 = 2\tilde{u}_3, \quad u_4 = \frac{\tilde{u}_4^x + \tilde{u}_4^y}{2}, \quad u_5 = 2\tilde{u}_5$$

то **результатом** действия лимитера будет **исходная функция**  $u_h(x, y, t)$

3. **в противном случае**, подобно одномерному «моментному» лимитеру следует перейти к **лимитированию коэффициентов при линейной части**

$$u_h^l(x, y, t) = \bar{u}_0 + u_1^* \left( \frac{x - x_c}{\Delta x} \right) + u_2^* \left( \frac{y - y_c}{\Delta y} \right)$$

$$\Delta \Pi_h u_h^l(x, y, t) = \bar{u}_0 + \tilde{u}_1^* \left( \frac{x - x_c}{\Delta x} \right) + \tilde{u}_2^* \left( \frac{y - y_c}{\Delta y} \right)$$



Действие **«МОМЕНТНОГО»** **лимитера** можно записать в виде

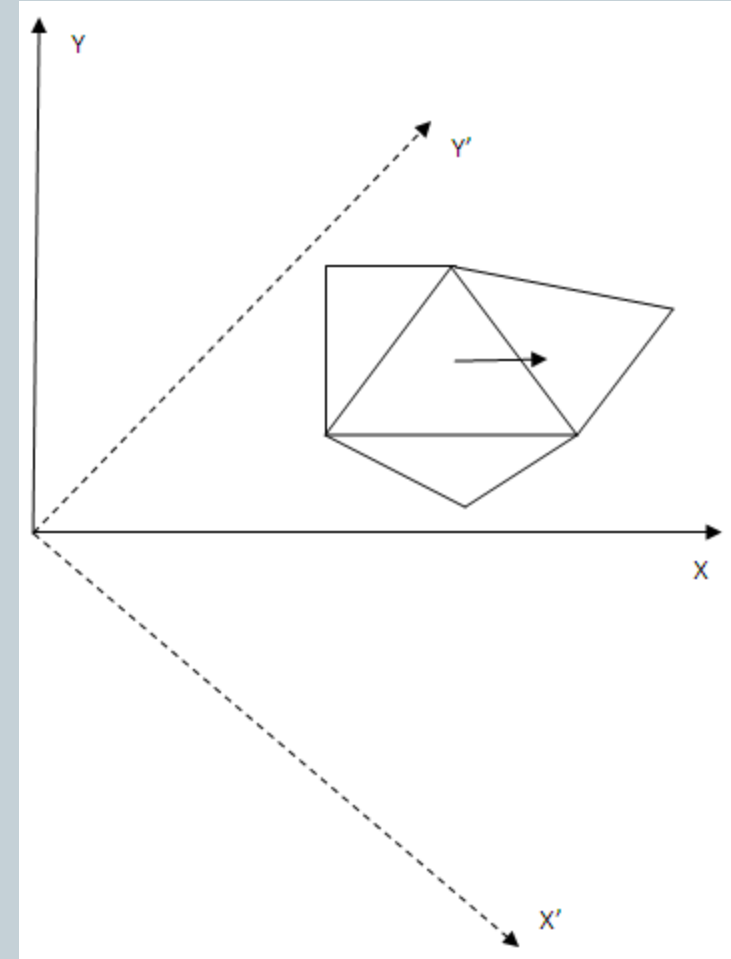
$$\begin{aligned} \Lambda \Pi_h^m u_h(x, y, t) = & \bar{u}_0 + \tilde{u}_1^* \varphi_x(x, y) + \tilde{u}_2^* \varphi_y(x, y) \\ & + 2\tilde{u}_3 \varphi_{xx}(x, y) + \frac{\tilde{u}_4^x + \tilde{u}_4^y}{2} \varphi_{xy}(x, y) + 2\tilde{u}_5 \varphi_{yy}(x, y) \end{aligned}$$





## Выбор направлений лимитируемых производных.

Во избежание ситуации, когда направление, по которому производится лимитирование, ортогонально вектору градиента, перейдем в новую систему координат.



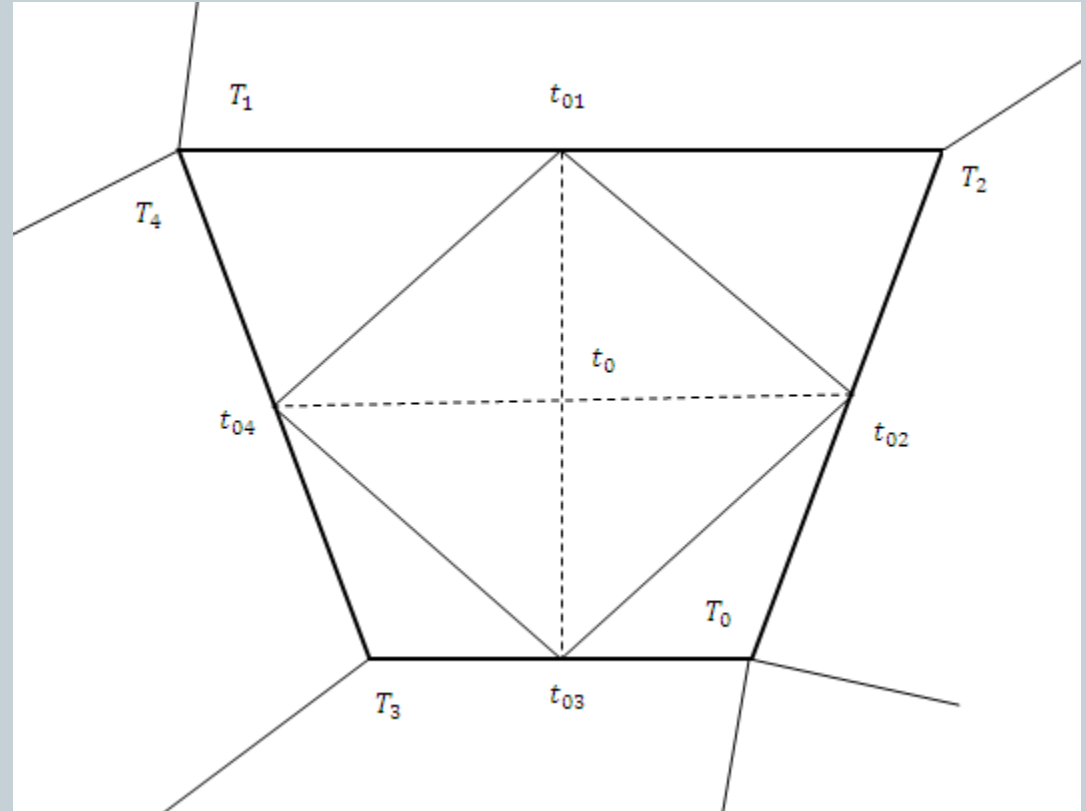


# Обобщение моментного лимитера на четырехугольные ячейки

$$\varphi_0(x, y) = 1$$

$$\varphi_1(x, y) = \begin{cases} 1, & \text{в } t_{01}, \\ -1, & \text{в } t_{03}, \\ 0, & \text{в } t_{02}, \\ 0, & \text{в } t_{04} \end{cases}$$

$$\varphi_2(x, y) = \begin{cases} 0, & \text{в } t_{01}, \\ 0, & \text{в } t_{03}, \\ 1, & \text{в } t_{02}, \\ -1, & \text{в } t_{04} \end{cases}$$



$$u_h(x, y, t) = u_0^* \varphi_0 + u_1^* \varphi_1 + u_2^* \varphi_2$$



Для всех задач использовалась схема третьего порядка по времени, сохраняющая монотонность решения.

$$U^* = \Lambda \Pi_h \left\{ U^n + \Delta t L(U^n) \right\}$$

$$U^{**} = \Lambda \Pi_h \left\{ \frac{3}{4} U^n + \frac{1}{4} U^* + \frac{1}{4} \Delta t L(U^*) \right\}$$

$$U^{n+1} = \Lambda \Pi_h \left\{ \frac{1}{3} U^n + \frac{2}{3} U^{**} + \frac{2}{3} \Delta t L(U^{**}) \right\}$$



## Исследование влияние различных лимитирующих функций на порядок точности решения разрывным методом Галеркина

Распределение плотности в начальный момент выберем в виде бесконечно гладкой функции:

$$\rho = \begin{cases} 1 + e^{2-2\frac{l^2}{l^2-x^2}}, & |x| < l \\ 1, & \text{иначе} \end{cases} \quad x \in [-1, 1], \quad l = 0.2, \quad \gamma = 5/3$$

Остальные гидродинамические параметры определяются из условий постоянства энтропии и инварианта  $R^+$

$$\varepsilon = \rho^{(\gamma-1)}, \quad u = \frac{-2\sqrt{\varepsilon(\gamma-1)\gamma}}{\gamma-1}, \quad E = \rho\varepsilon + \rho\frac{u^2}{2}$$

Расчетная область:  $[X] \times [Y] = [-1, 1] \times [0, 0.06]$

На границах области были заданы постоянные граничные условия:

$$\rho(-1, y, t) = 1, \quad u(-1, y, t) = -\sqrt{10}, \quad E(-1, y, t) = 6,$$

$$\rho(1, y, t) = 1, \quad u(1, y, t) = -\sqrt{10}, \quad E(1, y, t) = 6,$$

$$\rho(x, 0, t) = \rho(x, 0.06, t), \quad u(x, 0, t) = u(x, 0.06, t), \quad E(x, 0, t) = E(x, 0.06, t)$$

Вычисление порядка точности метода.

$$p = \frac{\log_2 \left\| U_h - U^T \right\|_{L_i}}{\log_2 \left\| U_{h/2} - U^T \right\|_{L_i}}, \quad i = 1, 2, 4.$$

$$\left\| U_h - U^T \right\|_{L^i} = \left( \iint_{\Omega} \left( U_h - U^T \right)^i dx dy \right)^{1/i}, \quad i = 1, 2, 4 \quad \Omega \in R^2$$



# Исследование влияние различных лимитирующих функций на порядок точности решения разрывным методом Галеркина

$T = 0.07$

$p = 2$

$\mu_1 = \mu_2 = 2.0$

		Без лимитера		Лимитер Кокбурна		“Моментный” лимитер	
N		ошибка	порядок	ошибка	порядок	ошибка	порядок
$L^1$	150	1.21e - 05		1.02e - 04		2.89e - 05	
	300	1.69e - 06	2.84	2.69e - 05	1.92	6.09e - 06	2.25
	600	1.44e - 07	3.55	5.87e - 06	2.19	9.18e - 07	2.73
	1200	1.41e - 08	3.34	1.28e - 06	2.19	9.32e - 08	3.29
$L^2$	150	2.19e - 04		1.10e - 03		4.29e - 04	
	300	3.95e - 05	2.47	3.55e - 04	1.64	1.39e - 04	1.62
	600	3.80e - 06	3.37	8.89e - 05	1.99	2.70e - 05	2.36
	1200	3.58e - 07	3.40	1.92e - 05	2.20	3.35e - 06	3.01
$L^4$	150	1.62e - 03		7.03e - 03		2.93e - 03	
	300	3.23e - 04	2.32	2.48e - 03	1.50	1.16e - 03	1.32
	600	3.65e - 05	3.14	6.71e - 04	1.88	2.48e - 04	2.23
	1200	3.55e - 06	3.36	1.45e - 04	2.21	3.52e - 05	2.81

## Выводы .

- Предложен новый лимитер повышенного порядка точности, являющийся обобщением моментного лимитера на треугольные и четырехугольные сетки.
- Показано, что предложенный лимитер позволяет сохранить решение повышенного порядка точности, в то время как классический лимитер Кокбурна не дает порядка точности выше второго.